## 実験と解析による自立式タイドアーチ木車道橋(百目石橋)の振動特性

金沢工業大学大学院 学生員 〇佐成屋孝之 金沢工業大学大学院 学生員 草薙貴信 秋田県立大学 金沢工業大学 正会員 佐々木貴信 フェロー 本田秀行

1. まえがき 百目石橋は、秋田県協和町の民有林道沢内水沢線に架設された下路式タイドアーチの木車道橋である。 百目石橋の架設地は周辺自然への配慮、地元材の需要拡大、木質系構造物の展示効果、緑豊かなレクリエーションの中 で象徴的な施設作り等を目的として、計画・架設されたものである。本橋は林道に架設する下路式タイドアーチ木車道 橋として、わが国最大の自立式アーチを用いた木製タイドアーチ橋である。その一般図と設計概要を図-1と表-1に 示す。平成13年8月に本橋に対して静的実験および動的実験を行い、データ分析すると共に、3次元静的解析、固有 値解析との比較から、剛性評価、振動特性、設計係数の検証を行った。本概要では特に振動特性を中心に報告する。

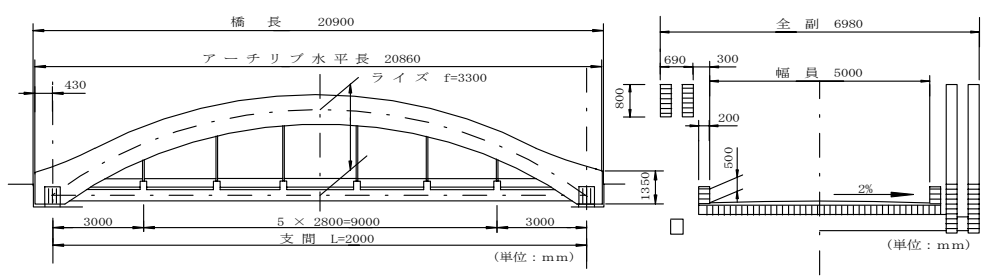


図-1 百目石橋一般図(平成 11 年完成)

表-1 設計概要

橋種	車道橋		
形式	下路式タイドアーチ		
橋長	20.9m		
支間長	20.0m		
アーチ支間長	20.0m		
幅員	5.0m(車道幅員)		
設計活荷重	25(A)		
衝撃係数	0.25		
雪荷重	100kg/m <sup>2</sup>		
舗装	アスファルト舗装		
使用部材	主にスギ集成材		

2. 実験概要 本橋は5種類の実橋実験および常時微動測定 試験を行った。砂袋落下衝撃試験では、30kg の砂袋を約 1m の高さから落下させることにより、本橋に鉛直、ねじれ加振 を与えた。試験車両は約20tfのダンプ車を2台用い、静的載 荷試験では試験車1台載荷(偏心、幅員中央載荷)と2台後部対 面載荷を行った。図-2に各試験での測定点を示す。▲は静的 載荷試験の測定点、●はサーボ型速度計による速度と加速度 の測定点、■は振動変位計の測定点である。試験車両走行試 験では、本橋の応答加速度、応答速度および応答たわみを測 定した。アーチ部材振動挙動測定試験では、アーチ部材と床 版の振動特性を把握するために、アーチ部材の鉛直、水平、 橋軸方向と、床版の鉛直の振動加速度を測定した。また、走 行速度は試験車両走行試験において1台単独走行の場合 30km/h、20km/h、10km/h、徐行、2 台連行走行の場合は 10km/h、徐行、またアーチ部振動挙動測定試験に対して1台 単独走行、2 台連行走行共に 10km/h、徐行である。

3. 実験結果 (1)静的特性 図-3 は静的載荷試験の一例 として、スパン31/4点(下流側)での載荷時に対する実験 値と解析値を示す。その結果、上、下流側載荷時、幅員 中央載荷時においては実験値と解析値がほぼ一致してい た。しかし、それぞれの支間中央載荷においては近い値 は得たが差異を生じた。これは、実際の試験車両の載荷 位置と静的解析での車両載荷位置のずれが起因している と考えられる。また、アーチ継手部、支承部、アーチ端 部のモデル化が困難であり、その影響も考えられる。

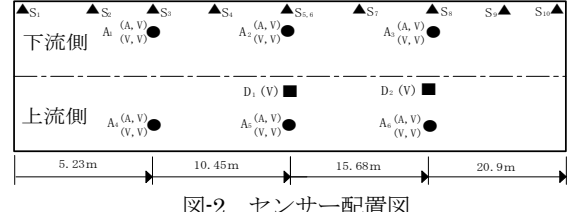


図-2 センサー配置図

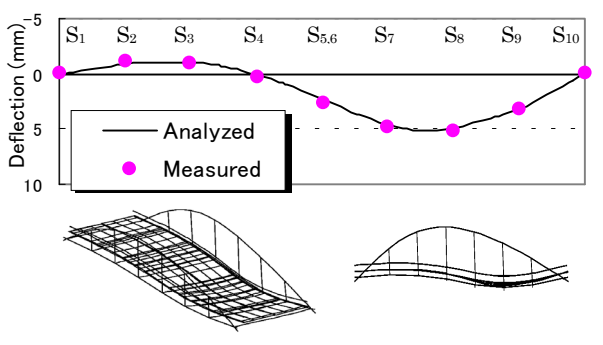


図-3 静的載荷試験の一例

表-2 固有振動数と減衰定数

振	振動モード	固有振動数 (Hz)				減衰定数 h
動		実験値				
次数		常時微動	砂袋落下	車両走行	解析值	減衰自由振動
1	アーチ曲げ1次	_	_	-	2.925	_
2	アーチ曲げ2次		_	-	2.927	_
3	鉛直曲げ逆対称1次		-		6.167	_
4	鉛直曲げ対称1次	6.83	6.64	6.83	6.656	0.0153
5	アーチ曲げ3次	1		1	8.233	_
6	アーチ曲げ4次	ı			8.238	_
7	ねじれ逆対称1次	9.62	9.57	9.83	9.566	0.0302
8	ねじれ対称1次	10.54	10.84		10.601	0.0169

(2)固有振動特性 表-2 に本橋の固有振動数の実験値と解析値を示す。図-4 に MSC/NASTRAN を用いて3 次元構 解析モデルを作成し、解析した結果による振動モード図を示す。これらのうち、アーチ曲げ1次、2次、3次、4次、 近代木橋、タイドアーチ、実橋実験、振動特性、構造解析

〒921-8501 石川県石川郡野々市町扇が丘 7-1 Tel.076-248-9609 Fax.076-294-6713

鉛直曲げ逆対称 1 次、鉛直曲げ対称 1 次、ねじれ逆対称 1 次、ねじれ対称 1 次の固有振動数が実橋で特に卓越している。アーチ単独の水平振動による振動モードが多く確認できるのはアーチ部材を結ぶ横梁が無く、それぞれが自立している構造上の特性に起因していると考えられる。また、アーチ継手部、支承部、アーチ端部等のモデル化に関して検討が必要である。 (3)減衰特性 表 -2 に減衰定数を示す。本橋を代表とする減衰定数 h は減衰自由振動波形より得られた鉛直曲げ 1 次モードの 0.0153 と考えられる。一般的な鋼橋やコンクリート橋に用いられる減衰定数と支間長との関係の概算式を用いて計算すると減衰定数 h は 0.0268 である。この値と本橋の減衰定数を比較すると明らかに本橋の減衰定数の方が小さい。これは本橋の構造が縦桁が無く横桁のみで床版を支えており、その床版を吊材を用いてアーチで吊っている構造上の特性に起因しているものと考えられる。

(4)動的増幅率(衝撃係数) 図-5 に車両走行試験における動的応答変位の一例を示す。動的増幅率は、この波形の動的変位から静的変位を引き、その値を静的変位から除して算出した。試験車走行試験は前節で述べたケースの内、日常起こりうる 1 台単独走行(20km/h)のケースである。日常起こりうる動的増幅率の最大値である 0.165 は、衝撃係数を一つの応答係数と考えた場合、設計衝撃係数である 0.25 より小さい値を示す。このことから、本橋は安全側に評価された値が設計に用いられていることが判断される。

(5)振動使用性 図-6 に日常的起こりうる可能性がある 1 台単独走行(20km/h)で車両が走行したときの各応答速度(最大値の平均値)と振動の恕限度を示す。また図-7 には上で述べたケースでの応答加速度の一例を示す。恕限度では橋梁振動により、歩行者が歩行時に受ける振動感覚から、橋梁に対する一つの使用性を評価するため、振動感覚の一般的な分類もしている。センサ $-A_4$ の恕限度は「少し歩きにくい」を、それ以外のセンサーの恕限度は「振動を明確に感じる」を示す。本橋の架設地点での状況を考えると、日常的な交通量による本橋の使用性として「歩きにくい」という現象は、再現される確率が低いと判断される。

(6)アーチ部材振動挙動試験 図-8 に車両走行試験における橋長 31/4 点でのアーチ部材の応答加速度を示す。 図-9 に同試験、同点における床版の応答加速度を示す。両測定点でほぼ同様の振動波形性状を示していることが確認できる。また応答加速度の最大値もほぼ同様の応答レベルであることが認められる。またアーチ部材の加速度のスペクトルには、表-2 に示す鉛直曲げ対称一次、ねじれ逆対称一次における固有振動数とほぼ同等な値が検出された。これは、床版と吊材、吊材とアーチ部材の接合部が精度良く連結されているものと判断される。

図-8 について鉛直方向の応答加速度よりも水平方向の応答加速度の方が倍以上大きい波形になってるのも、アーチを結ぶ横梁が無くそれぞれが自立している構造上の特性に起因しているものと考えられる。

最後に本橋の実験にご協力賜りました関係各位に感謝の意を表します。

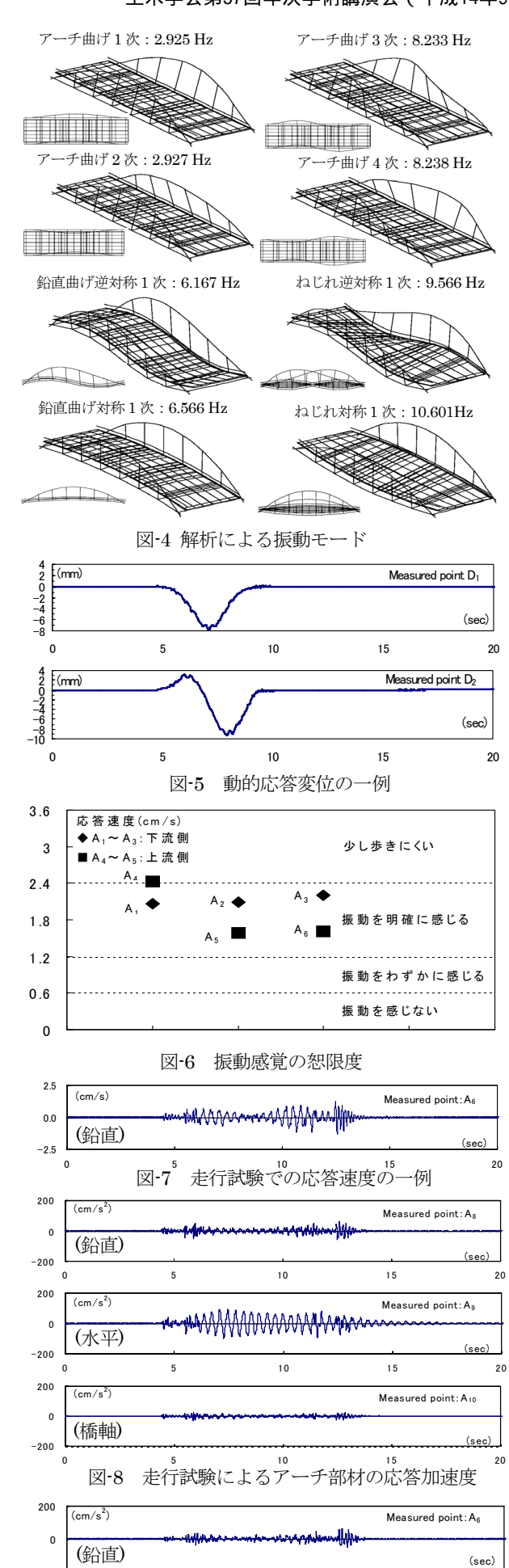


図-9 走行試験による床版の応答加速度